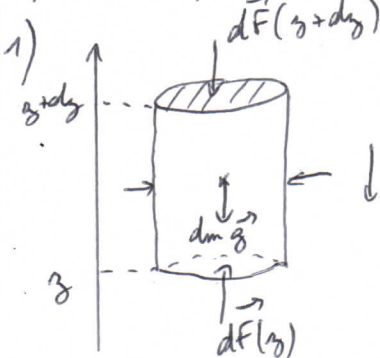


PREMIER PROBLEME: Modèles d'atmosphère en équilibre

1)  $z, dz$



• système : particule de fluide cylindrique de section  $dS$ , de hauteur  $dz$   
 • référentiel terrestre supposé galiléen

$dm = \rho dS dz$   
 $\uparrow$   
 $\approx c^k$  entre  $z$  et  $z+dz$

forces s'exerçant sur le cylindre :

- \* poids :  $dm \vec{g} = -\rho dS dz g \vec{u}_z$
- \* forces de pression :
  - latéralement : elles se compensent
  - $d\vec{F}(z+dz) = -P(z+dz) dS \vec{u}_z$
  - $d\vec{F}(z) = +P(z) dS \vec{u}_z$

Relation fondamentale de la statique (projetée sur  $\vec{u}_z$ ) :

$\Rightarrow -\rho dS dz g - P(z+dz) dS + P(z) dS = 0$   
 $\Rightarrow -\rho g dz = P(z+dz) - P(z) = \frac{dP}{dz} dz$   
 $\Rightarrow \boxed{\frac{dP}{dz} = -\rho g}$

2) équation d'état des GP :  $PV = nRT$

$\Rightarrow P \frac{V}{m} = \frac{n}{m} RT \Rightarrow \frac{P}{\rho} = \frac{RT}{M}$   
 $\Rightarrow P = \frac{\rho P}{RT}$

$\Rightarrow \frac{dP}{dz} = -\rho g = -\frac{\rho P}{RT} g \Rightarrow \frac{dP}{P} = -\frac{\rho g}{RT} dz$

or  $T = T_0 = c^k \Rightarrow \frac{dP}{P} = -\frac{\rho g}{RT_0} dz$

$\Rightarrow \ln \frac{P}{P_0} = -\frac{\rho g}{RT_0} (z-0)$

$\Rightarrow P = P_0 e^{-\frac{z}{H}}$  avec  $H = \frac{RT_0}{\rho g}$

3) évolution adiabatique + réversible pour un gaz parfait avec  $\gamma = \frac{c_p}{c_v} \Rightarrow$  on peut utiliser la loi de Laplace :  $PV^\gamma = c^k$

or  $V = \frac{nRT}{P} \Rightarrow \boxed{P^{1-\gamma} T^\gamma = c^k}$

b) On prend la différentielle logarithmique :

$(1-\gamma) \ln P + \gamma \ln T = c^k$   
 $\Rightarrow (1-\gamma) \frac{dP}{P} + \gamma \frac{dT}{T} = 0$   
 $\Rightarrow \frac{dP}{P} = \frac{\gamma}{\gamma-1} \frac{dT}{T}$

\* or cf 2) :  $\frac{dP}{P} = -\frac{\rho g}{RT} dz$

$\Rightarrow \frac{\gamma}{\gamma-1} \frac{dT}{T} = -\frac{\rho g}{RT} dz$

$\Rightarrow dT = -\frac{\gamma-1}{\gamma} \frac{\rho g}{R} dz$

$\Rightarrow T - T_0 = -\frac{\gamma-1}{\gamma} \frac{\rho g}{R} (z-0)$   
 $\uparrow \frac{\rho g}{R} = \frac{T_0}{H}$

$\Rightarrow \boxed{T = T_0 \left( 1 - \frac{\gamma-1}{\gamma} \frac{z}{H} \right)}$

c)  $\boxed{\frac{dT}{dz} = -\frac{\gamma-1}{\gamma} \frac{T_0}{H}}$

$H = \frac{RT_0}{\rho g} = \frac{8 \times 300}{3 \cdot 10^1 \cdot 10^{-3} \times 10} = 8 \cdot 10^3 \text{ m} = 8 \text{ km} = H$

$\frac{dT}{dz} = -\frac{1,4-1}{1,4} \frac{300}{8 \cdot 10^3} = -1 \cdot 10^{-2} \text{ K} \cdot \text{m}^{-1}$   
 $= -1 \cdot 10^1 \text{ K} \cdot \text{km}^{-1}$

$$\Rightarrow \frac{dT}{dz} = -1 \cdot 10^1 \text{ } ^\circ\text{C} \cdot \text{km}^{-1}$$

$$/ -6 \text{ } ^\circ\text{C} \cdot \text{km}^{-1} \text{ ou } -7 \text{ } ^\circ\text{C} \cdot \text{km}^{-1}$$

$\Rightarrow$  bon ordre de grandeur

$\Rightarrow$  ce modèle d'atmosphère en équilibre adiabatique rend compte de cette observation.

$$d) \text{ cf } i): \frac{dP}{P} = -\frac{\pi g}{RT} dz$$

$$\Rightarrow \frac{dP}{P} = -\frac{\pi g}{RT_0} \frac{dz}{1 - \frac{\gamma-1}{\gamma} \frac{z}{H}}$$

$\uparrow$   
 $\frac{1}{H}$

$$\Rightarrow \ln \frac{P}{P_0} = -\frac{1}{H} \left( \frac{-\gamma H}{\gamma-1} \right) \left[ \ln \left( 1 - \frac{\gamma-1}{\gamma} \frac{z}{H} \right) \right]_0^z$$

$$= \frac{\gamma}{\gamma-1} \left[ \ln \left( 1 - \frac{\gamma-1}{\gamma} \frac{z}{H} \right) - \ln 1 \right]$$

$$= \ln \left( 1 - \frac{\gamma-1}{\gamma} \frac{z}{H} \right)^{\frac{\gamma}{\gamma-1}}$$

$$\Rightarrow P = P_0 \left( 1 - \frac{\gamma-1}{\gamma} \frac{z}{H} \right)^{\frac{\gamma}{\gamma-1}}$$

$$4) \text{ 1}^{\text{er}} \text{ modèle: } P = P_0 e^{-\frac{z}{H}} \text{ avec } H = \frac{RT_0}{\pi g} = 8 \text{ km}$$

$$\Rightarrow P(H) = P_0 e^{-1}$$

$$\Rightarrow P(H) = 0,37 \text{ bar}$$

$$\text{2}^{\text{ème}} \text{ modèle: } P = P_0 \left( 1 - \frac{\gamma-1}{\gamma} \frac{z}{H} \right)^{\frac{\gamma}{\gamma-1}}$$

$$\Rightarrow P(H) = P_0 \left( 1 - \frac{\gamma-1}{\gamma} \right)^{\frac{\gamma}{\gamma-1}}$$

$$P(H) = 1,0 \left( 1 - \frac{1,40-1}{1,40} \right)^{\frac{1,40}{1,40-1}}$$

$$= 1,0 (1 - 0,29)^{3,5} = 1,0 \times 0,71^{3,5}$$

$$\Rightarrow P(H) = 0,30 \text{ bar}$$

$$5) \text{ 1}^{\text{er}} \text{ modèle: } P = P_0 e^{-\frac{z}{H}} = P_0 \left( 1 - \frac{z}{H} \right)$$

$\uparrow$   
 $z \ll H$

$$\text{2}^{\text{ème}} \text{ modèle: } P = P_0 \left( 1 - \frac{\gamma-1}{\gamma} \frac{z}{H} \right)^{\frac{\gamma}{\gamma-1}}$$

$$\begin{aligned} &= P_0 \left( 1 - \frac{\gamma}{\gamma-1} \frac{\gamma-1}{\gamma} \frac{z}{H} \right) \\ &\stackrel{z \ll H}{=} P_0 \left( 1 - \frac{z}{H} \right) \end{aligned}$$

$$\Rightarrow P = P_0 \left( 1 - \frac{z}{H} \right) \text{ dans les 2 cas}$$

DEUXIEME PROBLEME: Force pressante

sur la paroi d'un récipient

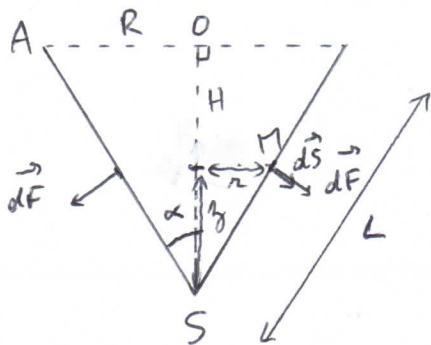
1)  $\frac{dP}{dz} = -\rho g$  avec  $\uparrow z$

2)  $dP = -\rho g dz \rightarrow dP + \rho g dz = 0$

$\Rightarrow P(z) + \rho g z = c^k$   
 $= P(H) + \rho g H$   
 $\uparrow P_0$

$\Rightarrow P(z) = P_0 + \rho g (H - z)$

3)



\* Par symétrie, la résultante est portée par  $(-\vec{u}_z)$ .

\*  $dS = dL \times r dt$

\*  $L = \frac{H}{\cos \alpha} \Rightarrow dL = \frac{dz}{\cos \alpha} \Rightarrow dS = \frac{r}{\cos \alpha} dz dt$

\*  $r = z \tan \alpha \Rightarrow dS = \frac{\tan \alpha}{\cos \alpha} z dz dt$

\*  $d\vec{S} \cdot \vec{u}_z = -dS \sin \alpha$   
 $= -\tan^2 \alpha z dz dt = -\frac{R^2}{H^2} z dz dt$

\*  $\vec{F}_{\text{liquide} \rightarrow \text{vase}} = F_z \vec{u}_z = \left( \iint_{\text{vase}} P(z) d\vec{S} \cdot \vec{u}_z \right) \vec{u}_z$

$F_z = \iint_{\text{vase}} P(z) d\vec{S} \cdot \vec{u}_z$

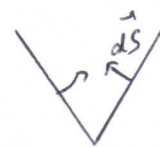
$F_z = \iint_{\text{vase}} -(P_0 + \rho g H - \rho g z) \frac{R^2}{H^2} z dz dt$

$F_z = -(P_0 + \rho g H) \frac{R^2}{H^2} \int_0^H z dz \int_0^{2\pi} dt$   
 $+ \rho g \frac{R^2}{H^2} \int_0^H z^2 dz \int_0^{2\pi} dt$

$F_z = -(P_0 + \rho g H) \pi R^2 + \rho g R^2 H \frac{2\pi}{3}$

$\vec{F}_{\text{liquide} \rightarrow \text{vase}} = \left[ -P_0 \pi R^2 - \frac{1}{3} \pi R^2 H \rho g \right] \vec{u}_z$

4)



\*  $d\vec{S} \cdot \vec{u}_z = +\frac{R^2}{H^2} z dz dt$   
 \* on remplace  $P(z)$  par  $P_0$

$\Rightarrow F_z = \iint_{\text{vase}} P_0 d\vec{S} \cdot \vec{u}_z$

$= \iint_{\text{vase}} P_0 \frac{R^2}{H^2} z dz dt = +P_0 \pi R^2$

$\vec{F}_{\text{air} \rightarrow \text{vase}} = P_0 \pi R^2 \vec{u}_z$

5)  $\vec{F}_{\text{liquide} + \text{air} \rightarrow \text{vase}} = \vec{F}_{\text{liquide} \rightarrow \text{vase}} + \vec{F}_{\text{air} \rightarrow \text{vase}}$

$\vec{F}_{\text{liquide} + \text{air} \rightarrow \text{vase}} = -\frac{1}{3} \pi R^2 H \rho g \vec{u}_z$

6)  $V_{\text{liquide}} = V_{\text{cône}} = \frac{1}{3} \pi R^2 H$

$\vec{F}_{\text{liquide} + \text{air} \rightarrow \text{vase}} = - \underbrace{V_{\text{liquide}} \rho g}_{\text{masse de liquide}} \vec{u}_z$   
 $= \text{poids du liquide}$

$\vec{F}_{\text{liquide} + \text{air} \rightarrow \text{vase}} = \text{poids du liquide}$

7) \* système : liquide

\* référentiel : terrestre supposé galiléen

\* actions extérieures :

• son poids :  $m \vec{g} = -\rho V g \vec{u}_z$

avec  $V = \frac{1}{3} \pi R^2 H$

• les forces pressantes en  $z = H$  :  $-P_0 \pi R^2 \vec{u}_z$

•  $\vec{F}_{\text{verre} \rightarrow \text{liquide}}$

équilibre  $\rightarrow m \vec{g} - P_0 \pi R^2 \vec{u}_z + \vec{F}_{\text{verre} \rightarrow \text{liquide}} = \vec{0}$

$\vec{F}_{\text{liquide} \rightarrow \text{verre}} = -\vec{F}_{\text{verre} \rightarrow \text{liquide}} = m \vec{g} - P_0 \pi R^2 \vec{u}_z$

$\vec{F}_{\text{liquide} \rightarrow \text{verre}} = \left[ -P_0 \pi R^2 - \frac{1}{3} \pi R^2 H \rho g \right] \vec{u}_z$

TROISIEME PROBLEME: Synthèse de composés semi-conducteurs: Epitaxie par jet moléculaire (d'après banque PT 2016)

Création d'un jet moléculaire: cellules de Knudsen:

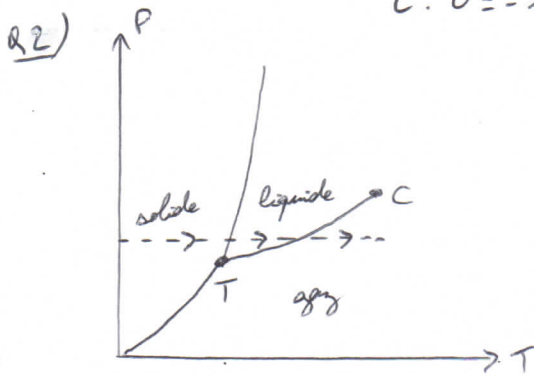
Q1)  $\frac{dN}{dt} = \sqrt{\frac{1}{6\pi}} N_V n^a \Delta^b$

$[\frac{dN}{dt}] = T^{-1}$        $[N_V] = L^{-3}$

$[n] = L \cdot T^{-1}$        $[\Delta] = L^2$

$\Rightarrow T^{-1} = L^{-3} (L \cdot T^{-1})^a (L^2)^b$

$\Rightarrow \boxed{a=b=1}$       (T:  $-1 = -a$   
L:  $0 = -3 + a + 2b$ )



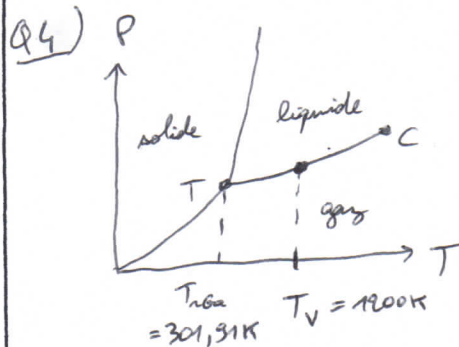
On se fixe à  $P = c^{\frac{b}{a}}$ :

- \* T faible: solide
- \* T ↑: liquide
- \* T ↑: gaz

Q3) \* point triple T: on a équilibre entre les 3 phases. Pour observer un corps pur sous 3 phases, on ne peut fixer librement aucun paramètre intensif (variance = 0) ⇒ P et T sont fixées: "point triple"

\* point critique C: il n'y a pas de discrimination absolue entre liquide et gaz car la définition de liquide et gaz revient à considérer des distances intermoléculaires plus ou moins grandes.

On peut passer du liquide à la vapeur en contournant le point critique sans observer de discontinuité des propriétés physiques (densité, indice optique, ...). On ne peut alors parler que d'état fluide (supercritique ou hypercritique).



$T_c > T_{nba}$

⇒ à  $T_c$ , la phase gazeuse est en équilibre avec une phase liquide.

Q5) La vitesse quadratique moyenne  $u$  est la racine carrée de la moyenne du carré des vitesses des particules:

$$u = \sqrt{\frac{1}{N} \sum_{i=1}^N v_i^2}$$

Q6)  $E_c = \frac{3}{2} k_B T$

Q7) Considérons une mole de gaz ( $N_A$  particules):

$$\begin{aligned} * E_c &= \sum_{i=1}^{N_A} E_{c,1 \text{ particule}} = \sum_{i=1}^{N_A} \frac{1}{2} m_{\text{particule}} v_i^2 \\ &= \frac{m_{\text{particule}}}{2} \sum_{i=1}^{N_A} v_i^2 \\ &= \frac{1}{2} m_{\text{particule}} \underbrace{N_A}_{N_A} u^2 \quad (\text{cf définition de } u) \\ &= \frac{1}{2} \underbrace{m_{\text{particule}} N_A}_{M_{Ga} = \text{masse d'une mole}} u^2 = \frac{1}{2} M_{Ga} u^2 \end{aligned}$$

\* D'autre part:  $E_c = N_A E_{c,1\text{particule}}$   
 $= N_A \frac{3}{2} k_B T$

or  $N_A k_B = R \Rightarrow E_{c,1\text{mole}} = \frac{3}{2} RT$

\*  $\Rightarrow \frac{1}{2} M_G u^2 = \frac{3}{2} RT$

$\Rightarrow u = \sqrt{\frac{3RT_V}{M_G}}$

Q8) \*  $\phi = \frac{1}{\sqrt{6\pi}} N_V u \Delta$

\* Équation d'état des gaz parfaits:  $PV = nRT$

\*  $N_V =$  nombre de particules par unité de volume

$= N_A \times$  nombre de moles par unité de volume

$= N_A \frac{n}{V} = N_A \frac{P_V}{RT_V}$

$\Rightarrow \phi = \frac{1}{\sqrt{6\pi}} N_A \frac{P_V}{RT_V} \sqrt{\frac{3RT_V}{M_G}} \Delta$

$\Rightarrow \phi = \frac{P_V N_A}{\sqrt{2\pi R M_G T_V}} \Delta$

Q9) creuset donné  $\Rightarrow \Delta$  donné

composé donné  $\Rightarrow M_G$  donné

$R, N_A$ : constantes

$\Rightarrow \phi$  dépend de  $P_V$  et  $T_V$  a priori

Or le système est à l'équilibre liquide  $\Rightarrow$  vapeur

donc si on fixe  $T_V$ , alors  $P_V$  est imposé

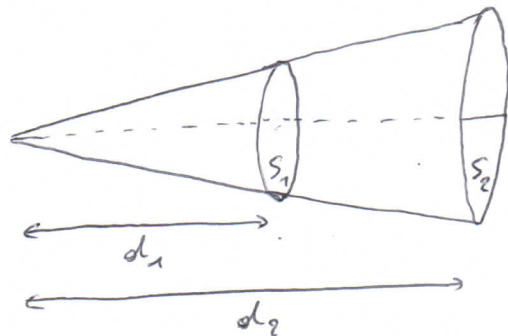
(système monovariant). C'est-à-dire

qu'il existe une relation  $P_V = P_V(T_V)$

$\Rightarrow \phi$  ne dépend donc que de  $T_V$

$\Rightarrow$  il suffit de contrôler seulement la température pour contrôler le flux de particules.

Q10) \* Si  $S \nearrow$ ,  $\phi_1 \nearrow$ : évident! Si la surface du substrat augmente, alors il y aura davantage de particules qui arriveront sur le substrat! On peut comprendre que si  $S$  n'est pas trop grand,  $\phi_1$  est grossièrement proportionnel à  $S$  (mais ce n'est pas complètement rigoureux car  $\phi_1$  dépend de  $\alpha$ ).



$\phi_c$ : flux de particules envoyées dans le cône

$= \phi_{\text{sur } S_1} = \phi_{\text{sur } S_2}$  (pas d'atténuation)

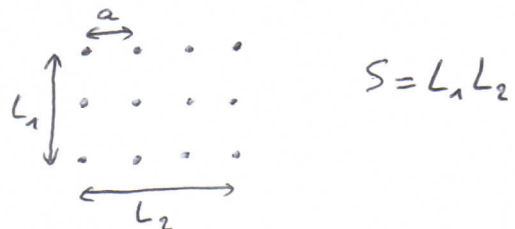
$\Rightarrow \phi_1 = \phi_2$

or  $\phi_1 \propto S_1$  et  $\phi_2 \propto S_2$  (cf précédemment)

et  $S_1 \propto d_1^2$  et  $S_2 \propto d_2^2$  (cf surface d'une sphère)

$\Rightarrow \phi_1 \propto \frac{S}{d^2}$

Q11) a)



nombre d'atomes sur la monocouche:  $N$

$N_1$ : nb d'atomes sur une verticale:  $N_1 \approx \frac{L_1}{a}$   
 $(\frac{L_1}{a} + 1)$

$N_2$ : nb d'atomes sur une horizontale:  $N_2 \approx \frac{L_2}{a}$   
 $(\frac{L_2}{a} + 1)$

$$N = N_1 N_2 \approx \frac{L_1}{a} \frac{L_2}{a} = \frac{S}{a^2} \quad \boxed{N = \frac{S}{a^2}}$$

$$b) \phi_1 = \phi \frac{S}{\pi d^2} \cos \alpha \cos \theta = \phi \frac{Na^2}{\pi d^2} \cos \beta \cos \theta$$

$$\phi_1 = \frac{\phi a^2}{\pi d^2} N$$

$$= \frac{N}{t}$$

$$\Rightarrow \boxed{t = \frac{\pi d^2}{\phi a^2}}$$

$$t = \frac{3,14 \times (2 \cdot 10^{-2})^2}{10^{-16} (0,3 \cdot 10^{-3})^2}$$

$$\boxed{t \approx 10}$$

c) épaisseur  $e \approx 1 \mu\text{m}$

$$\text{nombre de couches: } \frac{e}{a} = \frac{1 \mu\text{m}}{0,3 \text{ mm}} \approx 3 \cdot 10^3$$

$$t_{1 \mu\text{m}} = \frac{e}{a} \times t_{\text{monocouche}} = \frac{e}{a} \frac{\pi d^2}{\phi a^2} \approx 5 \cdot 10^3 \text{ s}$$

$$\boxed{t \approx 1 \text{ h}}$$

C'est assez long!

QUATRIÈME PROBLÈME: Étude de l'équilibre diphasé de l'eau

A) Exploitation des tableaux 1 et 2

I) Étude de la vapeur sèche

1) GP  $\Rightarrow PV = mRT = \frac{m}{\pi} RT \Rightarrow n_{v, \text{vapeur}} = \frac{V}{m} = \frac{RT}{P\pi}$   
 (équation d'état)

2)  $P_0 = 1 \text{ bar} = 10^5 \text{ Pa}$

$\theta (^{\circ}\text{C})$	$n_v$ ( $\text{m}^3 \cdot \text{kg}^{-1}$ )	$n_{v, \text{vapeur}}$ ( $\text{m}^3 \cdot \text{kg}^{-1}$ )	écart relatif
100	1,636	1,724	1,65%
150	1,936	1,954	0,93%
200	2,172	2,185	0,60%

$\Rightarrow$  l'écart est faible et semble diminuer qd  $T \nearrow$ .

3)  $C_v = \left. \frac{\partial U}{\partial T} \right|_V \Rightarrow$  pour la vapeur sèche :  $c_v = \left. \frac{\partial u_v}{\partial T} \right|_V$

$c_v \approx \frac{\Delta u_v}{\Delta T}$  (pour GP: 1<sup>ère</sup> loi de Joule;  $c_v = \frac{\Delta u_v}{\Delta T}$ )

entre 100 et 150 $^{\circ}\text{C}$ :  $c_v \approx \frac{2583 - 2506}{50,0} = 1,54 \text{ kJ} \cdot \text{kg}^{-1} \cdot \text{K}^{-1}$

entre 150 et 200 $^{\circ}\text{C}$ :  $c_v \approx \frac{2660 - 2583}{50,0} = 1,54 \text{ kJ} \cdot \text{kg}^{-1} \cdot \text{K}^{-1}$

$\Rightarrow \langle c_v \rangle = 1,54 \text{ kJ} \cdot \text{kg}^{-1} \cdot \text{K}^{-1}$

4)  $h_v = u_v + P n_v = u_v + \frac{RT}{\pi}$

on dérive par rapport à la température  $\Rightarrow c_p = c_v + \frac{R}{\pi}$

( $c_p = \frac{dh_v}{dT}$  et  $c_v = \frac{du_v}{dT}$  car GP, donc  $h_v$  et  $u_v$  ne dépendent que de  $T$ )

kg: on retrouve la loi de Mayer

$\Rightarrow c_p = c_v + \frac{R}{\pi} = 2,00 \text{ kJ} \cdot \text{kg}^{-1} \cdot \text{K}^{-1}$

5) a) on  $h_v = u_v + P n_v$  avec  $P = P_0 = 1 \text{ bar} = 10^5 \text{ Pa}$

$\Rightarrow h_v(100^{\circ}\text{C}) = 2676 \text{ kJ} \cdot \text{kg}^{-1}$   
 $h_v(150^{\circ}\text{C}) = 2777 \text{ kJ} \cdot \text{kg}^{-1}$   
 $h_v(200^{\circ}\text{C}) = 2877 \text{ kJ} \cdot \text{kg}^{-1}$

5) b)  $c_p = \left. \frac{\partial h_v}{\partial T} \right|_P \approx \frac{\Delta h_v}{\Delta T}$

entre 100 et 150 $^{\circ}\text{C}$ ,  $c_p = \frac{101}{50,0} \approx 2,02$

entre 150 et 200 $^{\circ}\text{C}$ ,  $c_p = \frac{100}{50,0} = 2,00$

$\Rightarrow c_p \approx 2,00 \text{ kJ} \cdot \text{kg}^{-1} \cdot \text{K}^{-1}$  (on retrouve la même valeur qu'en 4)

$\Rightarrow$  l'hypothèse d'assimiler la vapeur sèche à un GP est satisfaisante

6) l'identité thermodynamique:  $du = T ds - P dv$

+ GP  $\Rightarrow du = c_v dT$  et  $P = \frac{RT}{\pi n_v}$

1<sup>ère</sup> loi de Joule  
 $\Rightarrow ds = c_v \frac{dT}{T} + \frac{R}{\pi} \frac{dv}{v}$

on intègre entre  $\theta_1 = 100^{\circ}\text{C}$  et  $\theta_2 = 200^{\circ}\text{C}$

$\Rightarrow \Delta n_v(200^{\circ}\text{C}) = \Delta n_v(100^{\circ}\text{C}) + c_v \ln \frac{T_2}{T_1} + \frac{R}{\pi} \ln \frac{n_{v2}}{n_{v1}}$   
 $= 7,84 \text{ kJ} \cdot \text{K}^{-1} \cdot \text{kg}^{-1}$

II) Étude de la saturation

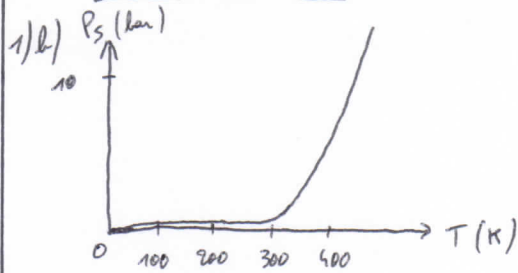
1) a) \*  $\theta = 100^{\circ}\text{C} \Rightarrow A = \log 1,013 + 1,372 \log 373,15 + \frac{2317}{373,15}$

$A = 9,744$

\*  $\theta = 150^{\circ}\text{C} \Rightarrow A = 9,757$

\*  $\theta = 200^{\circ}\text{C} \Rightarrow A = 9,759$

$\Rightarrow \langle A \rangle = 9,753$



2) a)  $\log P_s = \frac{\ln P_s}{\ln 10}$

$\Rightarrow \ln P_s = A \ln 10 - 1,372 \ln T - \frac{2317 \ln 10}{T}$

$\Rightarrow \frac{dP_s}{P_s} = -1,372 \frac{dT}{T} + \frac{2317 \ln 10}{T^2} dT$

$\Rightarrow \frac{dP_s}{dT} = P_s(T) \left( \frac{2317 \ln 10}{T^2} - \frac{1,372}{T} \right)$  avec  $T$  en K

AN:  $\theta = 150^{\circ}\text{C} \Rightarrow T = 423,15 \text{ K} \Rightarrow \frac{dP_s}{dT} = 0,1264 \text{ bar} \cdot \text{K}^{-1}$



2) b) relation de Clapeyron :

$$h_{vap}(T) = h_v - h_l = T(n_v - n_l) \frac{dP_s}{dT} \Big|_{eq}$$

$$\Rightarrow \frac{dP_s}{dT} = \frac{h_v - h_l}{T(n_v - n_l)}$$

$$\frac{dP_s}{dT}(150^\circ\text{C}) = \frac{2746 \cdot 10^3 - 632 \cdot 10^3}{423,15(0,333 - 1,09 \cdot 10^{-3})}$$

$$= 1,27 \cdot 10^4 \text{ Pa} \cdot \text{K}^{-1}$$

$$\frac{dP_s}{dT}(150^\circ\text{C}) = 0,127 \text{ bar} \cdot \text{K}^{-1}$$

3) Pour un équilibre déplacé,  $\Delta n_v - \Delta n_l = \frac{h_v - h_l}{T}$

$$\theta = 200^\circ\text{C} \Rightarrow T = 473,15 \text{ K}$$

$$\Rightarrow \Delta n_v = \Delta n_l + \frac{h_v - h_l}{T} = 2331 + \frac{(2793 - 852) \cdot 10^3}{473,15}$$

$$\Rightarrow \Delta n_v = 6,433 \text{ kJ} \cdot \text{K}^{-1} \cdot \text{kg}^{-1} \text{ à } 200^\circ\text{C}$$

B) Etude d'une transformation

I) Etude de l'état initial

1) équilibre liquide-vapeur sous  $P_0 = 1,013 \text{ bar} = P_s(100^\circ\text{C})$

$$\Rightarrow T = 100^\circ\text{C}$$

$$\Rightarrow m_{n_i} = \frac{V_{n_i}}{n_v(100^\circ\text{C})} = \frac{9,80}{1,673} = 5,86 \text{ kg}$$

$$m_{l_i} = \frac{V_{l_i}}{n_l(100^\circ\text{C})} = \frac{0,200}{1,04 \cdot 10^{-3}} = 192 \text{ kg}$$

$$x_{n_i} = x_{n_i} = \frac{m_{n_i}}{m_{n_i} + m_{l_i}} = 0,0296 = 2,96\%$$

$\Rightarrow 2,96\%$  de vapeur en masse ds la chaudière

II) Etude de l'état final

\* équilibre liquide-vapeur sous  $P = 15,54 \text{ bar} = P_s(200^\circ\text{C})$

$\Rightarrow T = 200^\circ\text{C}$  ds l'état final

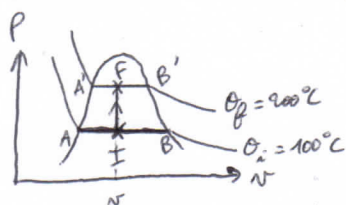
\* masse totale d'eau :  $m_{tot} = m_{l_i} + m_{n_i} = 198 \text{ kg}$

\* volume total de la chaudière :  $V_{tot} = V_{l_i} + V_{n_i} = 10,0 \text{ m}^3$

\*  $\Rightarrow$  volume massique pour le mélange déplacé :  $n = \frac{V_{tot}}{m_{tot}}$

$$\Rightarrow n = 5,05 \cdot 10^{-2} \text{ m}^3 \cdot \text{kg}^{-1}$$

L'évolution de l'état initial vers l'état final est un chauffage isochore :  $V = c^{te} \Rightarrow n = c^{te}$  (car  $m_{tot} = c^{te}$ )



\* théorème des moments  $\Rightarrow x_f = \frac{A'F}{A'B'} = \frac{n - n_l(200^\circ\text{C})}{n_v(200^\circ\text{C}) - n_l(200^\circ\text{C})}$

$$\Rightarrow x_f = 0,339 = 33,9\%$$

$$\Rightarrow m_{nf} = x_f m_{tot} = 77,6 \text{ kg}$$

$$m_{lf} = m_{tot} - m_{nf} = 120 \text{ kg}$$

III) Bilan énergétique

1<sup>er</sup> principe à ce système :  $\Delta U = Q_c + \gamma$   
0 car évolution isochore

$$\Rightarrow Q_c = U_f - U_i = (m_{nf} u_v(200^\circ\text{C}) + m_{lf} u_l(200^\circ\text{C})) - (m_{n_i} u_v(100^\circ\text{C}) + m_{l_i} u_l(100^\circ\text{C}))$$

$$\Rightarrow Q_c = 2,08 \cdot 10^5 \text{ kJ}$$

$$P_b = \frac{Q_c}{t_0} \Rightarrow t_0 = \frac{Q_c}{P_b} = 2,08 \cdot 10^3 \text{ s} \approx 35 \text{ min}$$

IV) Bilan entropique

$$1) \Delta S = S_f - S_i = (m_{nf} \Delta n_v(200^\circ\text{C}) + m_{lf} \Delta n_l(200^\circ\text{C})) - (m_{n_i} \Delta n_v(100^\circ\text{C}) + m_{l_i} \Delta n_l(100^\circ\text{C}))$$

$$\Rightarrow \Delta S = 485 \text{ kJ} \cdot \text{K}^{-1}$$

2)  $\Delta S = S_e + S_i$  où  $S_e$  est l'entropie échangée au cours du chauffage isochore dans la chaudière et  $S_i$  est le terme de création d'entropie.

$$S_i = \Delta S_{univers} = \Delta S - S_e = \Delta S - \frac{Q_c}{T_b}$$

$\leftarrow$  température extérieure au niveau de l'échange

$$\text{avec } T_b = \theta_f + 273,15 \text{ K} = 1073,15 \text{ K}$$

$$\Delta S_{univers} = \Delta S - \frac{Q_c}{T_b} = 291 \text{ kJ} \cdot \text{K}^{-1}$$

$\Delta S_{univers} > 0 \Rightarrow$  évolution bien évidemment irréversible